

الاتحاد الدولي للاتصالات

ITU-R

قطاع الاتصالات الراديوية في الاتحاد الدولي للاتصالات

**التوصية ITU-R S.1521-1
(2010/01)**

الخطأ المسموح به في الأداء على المسير الرقمي
المرجعي الافتراضي القائم على التراث
الرقمي المتزامن

السلسلة S

الخدمة الثابتة الساقية



تمهيد

يصطلط قطاع الاتصالات الراديوية بدور يتمثل في تأمين الترشيد والإنصاف والفعالية والاقتصاد في استعمال طيف الترددات الراديوية في جميع خدمات الاتصالات الراديوية، بما فيها الخدمات الساتلية، وإجراء دراسات دون تحديد مدى الترددات، تكون أساساً لإعداد التوصيات واعتمادها. ويؤدي قطاع الاتصالات الراديوية وظائفه التنظيمية والسياسية من خلال المؤتمرات العالمية والإقليمية للاتصالات الراديوية وجمعيات الاتصالات الراديوية بمساعدة لجان الدراسات.

سياسة قطاع الاتصالات الراديوية بشأن حقوق الملكية الفكرية (IPR)

يرد وصف للسياسة التي يتبعها قطاع الاتصالات الراديوية فيما يتعلق بحقوق الملكية الفكرية في سياسة البراءات المشتركة بين قطاع تقنيين الاتصالات وقطاع الاتصالات الراديوية والمنظمة الدولية للتوحيد القياسي واللجنة الكهربائية الدولية (ITU-T/ITU-R/ISO/IEC) والمشار إليها في الملحق 1 بالقرار 1 ITU-R. وتعد الاستثمارات التي ينبغي لحاملي البراءات استعمالها لتقاسم بيان عن البراءات أو للتصریح عن منح رخص في الموقع الإلكتروني <http://www.itu.int/ITU-R/go/patents/en> حيث يمكن أيضاً الإطلاع على المبادئ التوجيهية الخاصة بتطبيق سياسة البراءات المشتركة وعلى قاعدة بيانات قطاع الاتصالات الراديوية التي تتضمن معلومات عن البراءات.

سلسلة توصيات قطاع الاتصالات الراديوية

(يمكن الإطلاع عليها أيضاً في الموقع الإلكتروني <http://www.itu.int/publ/R-REC/en>)

العنوان

السلسلة

البث الساتلي

BO

التسجيل من أجل الإنتاج والأرشفة والعرض؛ الأفلام التلفزيونية

BR

الخدمة الإذاعية (الصوتية)

BS

الخدمة الإذاعية (التلفزيونية)

BT

الخدمة الثابتة

F

الخدمة المتقطلة وخدمة التحديد الراديوسي للموقع وخدمة الهواة والخدمات الساتلية ذات الصلة

M

انتشار الموجات الراديوية

P

علم الفلك الراديوسي

RA

الخدمة الثابتة الساتلية

S

أنظمة الاستشعار عن بعد

RS

التطبيقات الفضائية والأرصاد الجوية

SA

تقاسم الترددات والتنسيق بين أنظمة الخدمة الثابتة الساتلية والخدمة الثابتة

SF

إدارة الطيف

SM

التحجيم الساتلي للأجيال

SNG

إرسالات الترددات العيارية وإشارات التوقيت

TF

المفردات والمواضيع ذات الصلة

V

ملاحظة: ثُمت الموافقة على النسخة الإنكليزية لهذه التوصية الصادرة عن قطاع الاتصالات الراديوية بموجب الإجراء الموضح في القرار .ITU-R I

النشر الإلكتروني
جنيف، 2010

التوصية 1- S.1521-ITU-R

الخطأ المسموح به في الأداء على المسير الرقمي المرجعي الافتراضي القائم على التراث الرقمي المتزامن

(2001-2010)

مجال التطبيق

تقوم الخدمة الثابتة الساتلية (FSS) بدور هام في توفير اتصالات رقمية دولية موثوقة. ونظرًا للتكامل مع المرافق الأرضية، ينبغي تصميم الوصلة الساتلية لتلبى متطلبات تتوافق مع الأنظمة الأرضية. وتوصى توصية قطاع تقدير اتصالات ITU-T G.828 معلمات الأداء وأهدافه على المسيرات الرقمية المتزامنة الدولية المهمة لحمل حركة التراث الرقمي المتزامن (SDH) وأسلوب النقل غير المتزامن (ATM). واستجابةً لتلك الأهداف، تقدم هذه التوصية إرشادات بشأن أقنية تصميم احتمال الخطأ في البتات (BER) أو معدل الخطأ في البتات (BEP) التي يمكنها أن تمثل تمامًاً متطلبات توصية قطاع تقدير اتصالات ITU-T G.828.

إن جمعية الاتصالات الراديوية للاتحاد الدولي للاتصالات،

إذ تضع في اعتبارها

- (أ) أن السواتل العاملة في الخدمة الثابتة الساتلية تقوم بدور هام في توفير اتصالات رقمية دولية موثوقة؛
- (ب) أن أداء الوصلة الساتلية يجب أن يكفي للسماح بالالتزام بأهداف الأداء الإجمالية من طرف-إلى-طرف، ومن ثم بأهداف الجودة للمستعمل النهائي؛
- (ج) أن أداء الوصلة الساتلية مستقل عن المسافة بصفة عامة؛
- (د) أن توصية قطاع اتصالات الراديوية ITU-R S.1062 تحدد أهدافاً لأداء الوصلة الساتلية تتفق مع الأهداف المحددة في توصية قطاع تقدير اتصالات ITU-T G.826؛
- (هـ) أن توصية قطاع تقدير اتصالات ITU-T G.828 توصف أداء الأخطاء في المسيرات الرقمية المتزامنة الدولية ذات معدل البتات الثابت والمهمة لحمل حركة بأسلوب النقل غير المتزامن (ATM) وفق تعريفه الوارد في توصية قطاع تقدير اتصالات ITU-T I.356؛
- (و) أن توصية قطاع اتصالات الراديوية ITU-R S.1429 توصى ما هو مسموح في أداء الأخطاء جراء التداخل بين أنظمة ساتلية مختلفة؛
- (ز) أن توصية قطاع اتصالات الراديوية ITU-R S.1323 تحدد كيفية حساب هوماش التشغيل لتشمل كل من الخبر والتدخل المتغير بمورور الوقت؛
- (ح) أن الضرورة تقتضي أن تؤخذ في الحسبان جميع الآليات المهمة لوقوع الخطأ لدى تحديد معايير أداء الأخطاء، ولا سيما ظروف الانتشار المتغيرة مع الوقت والتدخل؛
- (ي) أن أنظمة الساتل يمكن أن تضم تلبية مجموعة واسعة من متطلبات الأداء،

توصي

- 1 بأن تضم الوصلات الساتلية الواقعه ضمن الشبكة العامة والمهمة لحمل حركة التراث الرقمي المتزامن (SDH) وأسلوب النقل غير المتزامن (ATM)، بحيث تتحقق الموصفات الواردة في هذه التوصية والتي تقوم على توصية قطاع تقدير اتصالات ITU-T G.828 (انظر الملحق 1)؛

2 باستعمال المنهجية التي يرد شرحها في الملحق 2 لإنتاج الأقنية الازمة لتصميم احتمال الخطأ في البتات (BEP)، انظر أيضاً الملاحظة 2. ولللتزام بتوصية قطاع تقدير الاتصالات ITU-T G.828 التزاماً كاملاً، فإن احتمال الخطأ في البتات (BEP) المقسم على متوسط عدد الأخطاء في الرشقة (α BEP/ α)، انظر الفقرة 3 من الملحق 2) في خرج أي من طرف مسیر رقمي مرجعي افتراضي (HRDP)، خلال جمل الوقت بما فيه الشهر الأسوأ، ينبغي ألا يتتجاوز أقنية تصميم المحددة في الجدول 1 وكذلك أقنية احتمال الخطأ في البتات (BEP) الواردة في الشكل 2 في الملحق 2؟

الجدول 1

BEP/ α	المعدل البتات (kbit/s)	النسبة المئوية من مجمل الوقت (الشهر الأسوأ)
9-10 × 1	1 664	0,2
9-10 × 1		2,0
9-10 × 1		10,0
9-10 × 1	2 240	0,2
9-10 × 1		2,0
9-10 × 1		10,0
9-10 × 1	6 848	0,2
9-10 × 7		2,0
9-10 × 6		10,0
9-10 × 1	48 960	0,2
9-10 × 2		2,0
9-10 × 1		10,0
9-10 × 1	150 336	0,2
9-10 × 2		2,0
9-10 × 9		10,0
يمدد لاحقاً	601 334	0,2
يمدد لاحقاً		2,0
يمدد لاحقاً		10,0

3 تشكل الملاحظات التالية جزءاً من هذه التوصية:

الملاحظة 1 - يرد توصيف المسير الرقمي المرجعي الافتراضي (HRDP) المشار إليه في توصية قطاع الاتصالات الراديوية ITU-R S.521.

الملاحظة 2 - يمكن تقدير نسب احتمال الخطأ في البتات (BEP) بقياسه على فترة زمنية تطول بما يكفي. وترد في الملحق 1 في توصية قطاع الاتصالات الراديوية ITU-R S.1062 طريقة لقياس احتمالات الخطأ في البتات كدالة لنسبة مئوية أقصر من الوقت.

الملاحظة 3 - تسهيلاً للتطبيق، تعطى القيم الواردة في الجدول 1 بدلاًة جمل الوقت وهي تمثل حدود متوذج أداء احتمال الخطأ في البتات (BEP) الذي يستخدم الطريقة المبينة في الملحق 2. ولدى التوصل إلى الأرقام الواردة في الجدول 1، استُبعدت الأخطاء الواقعية أثناء فترة عدم التوفّر. ولم تست احتمالات الخطأ في البتات الواردة في الجدول 1 هي الوحيدة التي تلي متطلبات توصية قطاع تقدير الاتصالات ITU-T G.828، بل يمكن استعمال أقنية أخرى لاحتمال الخطأ في البتات حيّثما كان ذلك مناسباً لتلبية توصية قطاع تقدير الاتصالات ITU-T G.828.

الملاحظة 4 - تسرى هذه التوصية على الأنظمة الساتلية العاملة ما دون التردد 15 GHz. أما شمولها لأنظمة تعمل على ترددات أعلى، فهو موضوع دراسة أخرى.

الملاحظة 5 - استُعملت قيمة 1×10^{-8} لاحتمال الخطأ في البتات (BEP) كعتبة عدم التوفّر.

الملاحظة 6 - تعطى الأهداف الواردة في الجدول 1 بدلاًة النسبة المئوية من أسوأ شهر. وتقابل النسب المئوية الشهرية النسب المئوية السنوية التالية:

$$- 10\% \text{ من شهر} = 4,0\% \text{ من سنة};$$

$$\begin{aligned} & - 0,6 \% \text{ من شهر} = 0,6 \% \text{ من سنة} \\ & - 0,04 \% \text{ من شهر} = 0,04 \% \text{ من سنة.} \end{aligned}$$

الملاحظة 7 – للالتزام بالجدول 1 في ترددات تزيد عن 10 GHz (انظر أيضاً الملاحظة 4)، لعله من المفيد اللجوء إلى التدابير المضادة للخطأ بما فيها تشفير التصحيح المسيق للخطأ (FEC)، أو التحكم في القدرة أو تنوع الواقع. وترد في الملحق 1 في توصية قطاع الاتصالات الراديوية ITU-R S.1061 معلومات عن التشغيل في تنوع الواقع.

الملاحظة 8 – الأسلوب المفضل للتحقق من أداء وصلة ساتلية رقمية يقوم على القياسات أثناء الخدمة. ومن شأن هذه القياسات أن تستخدمن خطط كشف خطاً الفدرة المتصلة بالحجم الملازم لفدرة التراتب الرقمي المتزامن (SDH) وبينية نظام الإرسال. ويؤثر تشفير التصحيح المسيق للخطأ (FEC) والتخليط والتشفير التفاضلي على تفسير القياسات (انظر الملحق 2، الفقرة 3).

الملاحظة 9 – وضع أداء الأخطاء الوارد في الجدول 1 على أساس استعمال المسير الرقمي الافتراضي (HRDP) في الشطر الدولي من الوصلة (مثل بوابة دولية مبدلة إلى بوابة دولية مبدلة). ويمكن أن يتضمن التوصيل تطبيقات أخرى للمسير الرقمي الافتراضي (مثلاً مكتب الطرف إلى مكتب الطرف) ويمكن تعديل أهداف أداء الأخطاء وفقاً لذلك.

الملاحظة 10 – يمكن تطبيق الطرائق المذكورة في هذه التوصية على تصميم الوصلات الساتلية في الشبكات الخاصة.

الملاحظة 11 – يتعين تحقيق أهداف الأداء لمعدل الإرسال المطلوب وليس لأي معدل أعلى أعدّ لدعم الإرسال المتعدد أو تصحيح الخطأ. فعلى سبيل المثال، إذا بلغ معدل الإرسال عبر وصلة ساتلية 6 Mbit/s وبلغ معدل الإرسال اللازم بين نقطتين طرفيتين 2 Mbit/s، تُطبق أهداف الأداء لإرسال معدله 2 Mbit/s.

الملحق 1

اعتبارات عامة 1

تعرف توصية قطاع تقدير الاتصالات ITU-T G.828 معلومات أداء الأخطاء وأهدافه للمسيرات الرقمية المتزامنة الدولية المهمة لحمل حركة التراتب الرقمي المتزامن (SDH) وأسلوب النقل غير المتزامن (ATM). وتعتمد هذه التوصية جميع معلومات التعاريف والأهداف المحددة فيها. وتعُرف الأهداف الواردة في توصية قطاع تقدير الاتصالات ITU-T G.828 على أنها مستقلة عن الشبكة المادية الداعمة للمسير.

ويُدعم قياس معدلات الخطأ في طبقة التراتب الرقمي المتزامن (SDH) بشفرات تعادلية تشذير البتات (BIP) الخمولة في رأسيات حاوية التراتب الرقمي المتزامن.

1.1 تعاريف

تسهيلاً على القارئ، تكرر هنا التعاريف الواردة في توصية قطاع تقدير الاتصالات ITU-T G.828.

تستند قياسات أداء الأخطاء إلى فدرات يتسم حجمها مع هيكل إطار التراتب الرقمي المتزامن (SDH) ويتغير وفقاً لمعدل البتات، انظر الجدول 2.

1.1.1 الفدرة

الفدرة هي مجموعة من البتات المتعاقبة المرتبطة بمسير، وتنتهي كل بنة إلى فدرة واحدة حصرًا. ولا يمكن لبتات متعاقبة أن تكون متحاورة زمنياً.

أحداث الخطأ 2.1.1

- فدرة مشوبة بالخطأ (EB): هي فدرة فيها خطأ في بة واحدة أو أكثر.
- ثانية مشوبة بالخطأ (ES): هي ثانية واحدة من الزمن فيها فدرة واحدة أو أكثر مشوبة بالخطأ أو فيها خلل واحد على الأقل. ويدرج الخلل ومعايير الأداء ذات الصلة في الملحق باء في توصية قطاع تقدير الاتصالات ITU-T G.828.
- ثانية شديدة الخطأ (SES): هي ثانية واحدة من الزمن فيها الفدرات المشوبة بالخطأ $\leq 30\%$, أو فيها خلل واحد على الأقل. والثانية شديدة الخطأ هي مجموعة فرعية ضمن الثانية المشوبة بالخطأ. ولتبسيط التقياسات، تُعرف الثانية شديدة الخطأ بدالة الخلل بدلاً من شدة الأخطاء في البتات. ولكن ينبغي الانتباه إلى إمكانية وجود أنماط من الخطأ لا تنبئ بوجود خلل. وستبين التجربة الميدانية ما إذا كان ذلك يمثل مشكلة ذات شأن في قياس الأخطاء.
- خطأ خلفية الفدرة (BBE): هو فدرة مشوبة بالخطأ (EB) لا تحدث كجزء من ثانية شديدة الخطأ (SES).
- فترة شديدة الخطأ (SEP): هي سلسلة متتابعة من 3 إلى 9 ثوان متلاحقة شديدة الخطأ. وتنهي الفترة الثانية ليست شديدة الخطأ. وهكذا فإن حدث الفترة شديدة الخطأ هو نفس حدث الثنائي المتلاحقة شديدة الخطأ (CSES)، على النحو المعروف في توصية قطاع تقدير الاتصالات ITU-T G.784، مع ضبط العتبة الدنيا عند 3 ثوان.
- ويورد الجدول 2 العلاقات ما بين أحجام الفدر ومعدلات البتات وشفرة كشف الخطأ (EDC) وأنماط المسيرات.

الجدول 2

أحجام الفدر مقابل معدلات البتات

EDC	حجم فدرة SDH المستعملة في توصية قطاع تقدير الاتصالات ITU-T G.828 (بتات)	نط المسير	معدل البتات (kbit/s)
BIP-2	832	TC-11, VC-11	1 664
BIP-2	1 120	TC-12, VC-12	2 240
BIP-2	3 424	TC-2, VC-2	6 848
BIP-8	6 120	TC-3, VC-3	48 960
BIP-8	18 792	TC-4, VC-4	150 336
BIP-8	75 168	TC-4-4c, VC-4-4c	601 344
BIP-8	300 672	TC-4-16c, VC-4-16c	2 405 376
BIP-8	1 202 688	TC-4-64c, VC-4-64c	9 621 504

VC: تعني قناة افتراضية (virtual channel).
TC: تعني توصيل رديف (Tandem connection).

معلومات أداء الأخطاء 3.1.1

- ينبغي ألا يقيّم أداء الأخطاء إلا عندما يكون المسير في حالة التوفّر. وللابلاغ على تعريف معايير الدخول والخروج في حالة عدم التوفّر، انظر الملحق ألف في توصية قطاع تقدير الاتصالات ITU-T G.828.

- نسبة الثنائي المشوبة بالخطأ (ESR): هي نسبة الثنائي المشوبة بالخطأ إلى محمل الثنائي في وقت التوفّر أثناء فترة قياس ثابتة.
- نسبة الثنائي شديدة الخطأ (SESR): هي نسبة الثنائي شديدة الخطأ إلى محمل الثنائي في وقت التوفّر أثناء فترة قياس ثابتة.

- نسبة خطأ خلفية الفدرة (BBER): هي نسبة خطأ خلفية الفدرة إلى محمل الفدر في وقت التوفّر أثناء فترة قياس ثابتة. ويستبعد العدد الإجمالي للفدر جميع الفدر أثناء الشوّاف شديدة الخطأ (SES).
- كثافة الفترات شديدة الخطأ (SEPI): هي عدد المرات التي تصادف فيها الفترات شديدة الخطأ في وقت التوفّر مقسوماً على محمل ثواني وقت التوفّر. ومن ثم، فإن وحدة معلمة كثافة الفترات شديدة الخطأ (SEPI) هي $1/s$.

4.1.1 القياسات القائمة على الفدرة

تراقب كل فدرة بواسطة شفرة كشف الخطأ بتعادلية تشذير البتات (BIP EDC) المحمولة في رأسية التراب الرقمي المتزامن (SDH). فعند كشف حالة خطأ، يتعرّد تحديد ما إذا كان الخطأ عائداً للفدرة أو لبتات شفرة كشف الخطأ (EDC) المتحكّمة فيها. لذلك، في حال وجود التباس بين شفرة كشف الخطأ وفترتها الخاضعة للتحكّم، يتعين الافتراض دوماً أن الخطأ في الفدرة.

2 أهداف أداء الأخطاء

1.2 الأهداف من طرف-إلى-طرف

يحدد الجدول 3 الأهداف من طرف-إلى-طرف لمسيّر مرجعي افتراضي (HRP) طوله 27 km. وُتستقى الأهداف السارية على مسّير حقيقي من الجدول 3 باستعمال مبادئ التوزيع المفصّلة في الفقرة 2.6 من توصية قطاع تقدير الاتصالات ITU-T G.828. ويتعين أن يلي كل اتجاه في المسّير، على حدة، الأهداف الموزعة لجميع المعلمات. وهذه أهداف طويلة الأجل يتعين تحقيقها عادةً على مدى 30 يوماً متعاقباً.

الجدول 3

أهداف أداء الأخطاء من طرف-إلى-طرف لمسيّر مرجعي افتراضي (HRP) رقمي متزامن دولي طوله 27 500 km على النحو المحدّد في توصية قطاع تقدير الاتصالات ITU-T G.828

معدل البتات (kbit/s)	خط المسير	الفدر/الثانية	ESR	SESR	BBER ⁽¹⁾	SEPI ⁽²⁾
1 664	TC-11, VC-11	2 000	0,01	0,002	5×10^{-5}	s/0,0002
2 240	TC-12, VC-12	2 000	0,01	0,002	5×10^{-5}	s/0,0002
6 848	TC-2, VC-2	2 000	0,01	0,002	5×10^{-5}	s/0,0002
48 960	TC-3, VC-3	8 000	0,02	0,002	5×10^{-5}	s/0,0002
150 336	TC-4, VC-4	8 000	0,04	0,002	4×10^{-4}	s/0,0002
601 344	TC-4-4c, VC-4-4c	8 000	⁽³⁾	0,002	4×10^{-4}	s/0,0002

يُقابل هدف BBER هذا ما يعادل $8,3 \times 10^{-10}$ من BER، أي بتحسين قدره $5,3 \times 10^{-9}$ في خطأ BER لمعدل VC-4. وبعد خطأ BER المكافئ قيماً كمؤشر لأداء الأخطاء مستقل عن المعدل، لأنّه لا يمكن للأهداف BBER أن تبقى ثابتة مع تامي أحجام الفدر.

⁽²⁾ قيمة مؤقتة تستلزم المزيد من الدراسة.

تكاد أهداف ESR تفقد أهميتها في معدلات البتات العالية، لذلك فهي لا تُحدّد للمسيّرات العاملة بمعدلات أعلى من 160 Mbit/s. غير أن زيادة كبيرة في ESR تشير إلى تدهور نظام الإرسال. إذن، ينبغي تنفيذ مراقبة ES لأغراض الصيانة.

ويمكن للمسيرات الرقمية المترادفة العاملة بمعدلات بتات تشملها هذه التوصية أن تتحمل بالأقسام الرقمية العاملة بمعدلات بتات أعلى. ولابد مثل هذه الأنظمة أن تتحقق أهدافها من طرف-إلى-طرف. ففي التراث الرقمي المترادف (SDH) مثلاً، يمكن لقسم وحدة النقل المترادف 1 (STM-1) أن يحمل مسیر القناة الافتراضية 4 (VC-4)، ولذلك ينبغي تصميم قسم أسلوب النقل المترادف 1 بحيث يضمن الالتزام بأهداف مسیر القناة الافتراضية 4.

وتوزع الأهداف على الشرطين الوطني والدولي من المسير. وفي المثال أعلاه، لا يشكل قسم وحدة النقل المترادف 1 (STM-1) شطراً وطنياً أو دولياً كاملاً، فيجب تقسيم التوزيع الوطني/الدولي المقابل جزئياً لتحديد التوزيع المناسب للقسم الرقمي. وهذا خارج نطاق هذه التوصية.

2.2 اقتسام الأهداف من طرف-إلى-طرف

تُنقسم المستويات المتوقعة للأداء بين الشرطين الدولي والوطني لمسير مرجعي افتراضي (HRP).

أما التقسيمات الإضافية لهذه الأهداف فهي خارج نطاق هذه التوصية.

1.2.2 التوزيع إلى الشطر الوطني

توزع إلى كل شطر وطني حصة ثابتة نسبتها 17,5% من الأهداف من طرف-إلى-طرف إضافةً إلى التوزيع القائم على المسافة.

وعندما يتضمن الشطر الوطني قفزة ساتلية، توزع إليه حصة إجمالية نسبتها 42% من الأهداف من طرف-إلى-طرف الواردة في الجدول 3. وتحل هذه الحصة كلياً محل التوزيع القائم على المسافة وتوزيع الفدرة بنسبة 17,5%.

2.2.2 التوزيع إلى الشطر الدولي

تلقى أية قفزة ساتلية في الشطر الدولي توزيعاً نسبته 35% من الأهداف الواردة في الجدول 3 بصرف النظر عن المسافة التي تغطيها. ويحل هذا التوزيع كلياً محل توزيعات الفدرة القائمة على المسافة وتوزيعات الفدرة الواردة في أجزاء من الشطر الدولي التي تعطيها القفزة الساتلية.

3 أهداف أداء مسیر رقمي مرجعي افتراضي (HRDP) للساتل

الجدول 4

أهداف أداء مسیر رقمي مرجعي افتراضي (HRDP) للساتل في وصلة تراث رقمي مترادف (SDH) دولي

601 334 (VC-4-4c)	150 336 (VC-4)	48 960 (VC-3)	6 848 (VC-2)	2 240 (VC-12)	1 664 (VC-11)	المعدل (kbit/s)
(1) 0,0007 $4-10 \times 0,35$	0,014 0,0007 $4-10 \times 0,35$	0,007 0,0007 $5-10 \times 1,75$	0,0035 0,0007 $5-10 \times 1,75$	0,0035 0,0007 $5-10 \times 1,75$	0,0035 0,0007 $5-10 \times 1,75$	ESR SESR BBER

(1) نظراً لعدم وجود معلومات عن أداء المسيرات العاملة فوق 160 Mbit/s، لا توصي أهداف لتناسب الثوابي المشوبة بالخطأ (ESR) في هذا الحين. ومع ذلك، ينبغي أن تتفقد معالجة نسبة الثوابي المشوبة بالخطأ ضمن أي نظام بعمل بهذه المعدلات لأغراض الصيانة أو المراقبة.

الملحق 2

اشتقاق قناع احتمال الخطأ في البتات (BEP)

مقدمة

1

لا يصح الاستعمال المباشر للمعلمات والأهداف المعرفة في توصية قطاع تقدير الاتصالات G.828 في تصميم نظام إرسال ساتلي. إذ يجب أن تحوّل إلى احتمال الخطأ في البتات (BEP) مقابل توزيع النسبة المئوية من الوقت، وهو ما يدعى أيضاً قناع احتمال الخطأ في البتات، وبذلك فإن أي نظام إرسال رقمي يُصمم لتلبية القناع من شأنه أن يلي أيضاً أهداف التوصية. بيد أن التحويل الذي يرد شرحه في هذا الملحق لا يؤدي إلى قناع واحد مميز.
ويوضح هذا الملحق منهجية لإنشاء قناع احتمال الخطأ في البتات.

2 احتمال وقوع الأحداث الأساسية

من المعروف أن أخطاء الإرسال عبر وصلات ساتلية تحدث على رشقات، حيث يكون متوسط عدد الأخطاء في الرشقة رهناً بالمخلط وشفرة التصحيح المسبق للخطأ (FEC)، من جملة عوامل أخرى. ومن ثم، يجب أن يأخذ النموذج الناجح للأداء الرقمي عبر الوصلات الساتلية في الحسبان هذه الطبيعة المتقطعة للأخطاء.

وأحد النماذج الإحصائية التي يمكن أن تمثل الواقع العشوائي للرشقات هو التوزيع المتجاور نيمان-آ (Neyman-A) حيث احتمال الأخطاء k التي تقع في عدد N من البتات، $P(k)$ ، هو كما يلي:

$$(1) \quad P(k) = \frac{\alpha^k}{k!} e^{-\frac{BEP \cdot N}{\alpha}} \sum_{j=0}^{\infty} \frac{j^k}{j!} \left(\frac{BEP \cdot N}{\alpha} \right)^j e^{-j\alpha}$$

حيث:

α : متوسط عدد البتات المشوبة بالأخطاء في رشقة من الأخطاء

BEP : احتمال الخطأ في البتات.

فإذا أخذ $N = N_B$ كعدد البتات في فدرة بيانات، فإن احتمال انعدام الأخطاء في فدرة هو كما يلي:

$$(2) \quad P(0) = e^{-\frac{BEP \cdot N_B}{\alpha}} \sum_{j=0}^{\infty} \left[\left(\frac{BEP \cdot N_B}{\alpha} \right)^j \Big/ j! \right] e^{-j\alpha} \cong e^{-\frac{BEP \cdot N_B}{\alpha}}$$

لجميع القيم العملية لـ α .

ويعطى احتمال فدرة بشوها الخطأ، P_{EB} ، بالمعادلة التالية:

$$(3) \quad P_{EB} = 1 - P(0) = 1 - e^{-\frac{BEP \cdot N_B}{\alpha}} = 1 - e^{-N_B \cdot BEP_{CRC}(t)}$$

حيث $BEP_{CRC}(t) = BEP/\alpha$ ، ويظهر $BEP_{CRC}(t)$ بوضوح كدالة للوقت. إذن يمكن صياغة احتمال الثانية المشوبة بالخطأ، $P_{ES}(t)$ ، كما يلي:

$$(4) \quad P_{ES}(t) = 1 - e^{n \cdot P_{EB}(t)}$$

حيث n هو عدد الفدر في الثانية.

وباعتبار أن احتمال الفدر المشوبة بالخطأ، $P_{n,k}(t)$ ، بين إجمالي عدد الفدر n ، يعطي بالمعادلة التالية:

$$(5) \quad P_{n,k}(t) = \frac{n!}{(n-k)!k!} (1-P_{EB}(t))^{n-k} P_{EB}^k(t)$$

فإن احتمال الثانية شديدة الخطأ (SES)، $P_{SES}(t)$ ، هو كما يلي:

$$(6) \quad P_{SES}(t) = \sum_{k=0.3n}^n P_{n,k}(t) = 1 - \sum_{k=0}^{0.3n-1} P_{n,k}(t) = 1 - \sum_{k=0}^{0.3n-1} \frac{n!}{(n-k)!k!} (1-P_{EB}(t))^{n-k} P_{EB}^k(t)$$

1.2 إنتاج الأقنة

إذا افترضنا أن الشكل العام للقناع هو كما في الشكل 1، واستعملنا صيغة الاحتمال، فإن نسبة الثنائي المشوبة بالخطأ (ESR) (المعرفة كإجمالي الثنائي المشوبة بالخطأ، أي الثنائي ذات فدرة واحدة أو أكثر مشوبة بالأخطاء) مقسومة على مجموع الثنائي المتاحة، T_a ، تعطى كما يلي:

$$(7) \quad ESR = \frac{\int P_{ES}(t)}{T_a}$$

وبالمثل، فإن نسبة الثنائي شديدة الخطأ (SESR) تعطى كما يلي:

$$(8) \quad SESR = \frac{\int P_{SES}(t)}{T_a}$$

وإذا افترض أن الاحتمالين $P_{SES}(t)$ و $P_{ES}(t)$ ثابتان على مر الزمن بصورة مجزأة، يمكن التعبير عن ESR و SESR كما يلي:

$$(9) \quad ESR = \sum_{i=1}^M P_{ES_i} \cdot \Delta t_i$$

و

$$(10) \quad SESR = \sum_{i=1}^M P_{SES_i} \cdot \Delta t_i$$

حيث M هو العدد الإجمالي للفترات زمنية، و $P_{SES_i}(t)$ و $P_{ES_i}(t)$ هما احتمال ES و SES على التوالي في الفترة الزمنية ذات الترتيب i مقسومين على T_a .

وتعُرَّف نسبة خطأ خلفية الفدرة (BBER) على أنها النسبة بين الفدر المشوبة بالخطأ إلى جمل الفدر أثناء الثنائي المتوفرة، مع استبعاد جميع الفدر أثناء الثنائي شديدة الخطأ (SES). إذن:

$$(11) \quad BBER = \frac{\int_{T_a} \left(\sum_{k=1}^{0.3n} P_{n,k}(t) \cdot k \right) dt}{n \cdot \left(T_a - \int_{T_a} P_{SES}(t) \cdot dt \right)} = \frac{\sum_{k=1}^{0.3n} \left(\frac{1}{T_a} \int_{T_a} P_{n,k}(t) \cdot dt \right) \cdot k}{n \cdot (1 - SESR)}$$

$$\int P_{n,k} \cdot dt$$

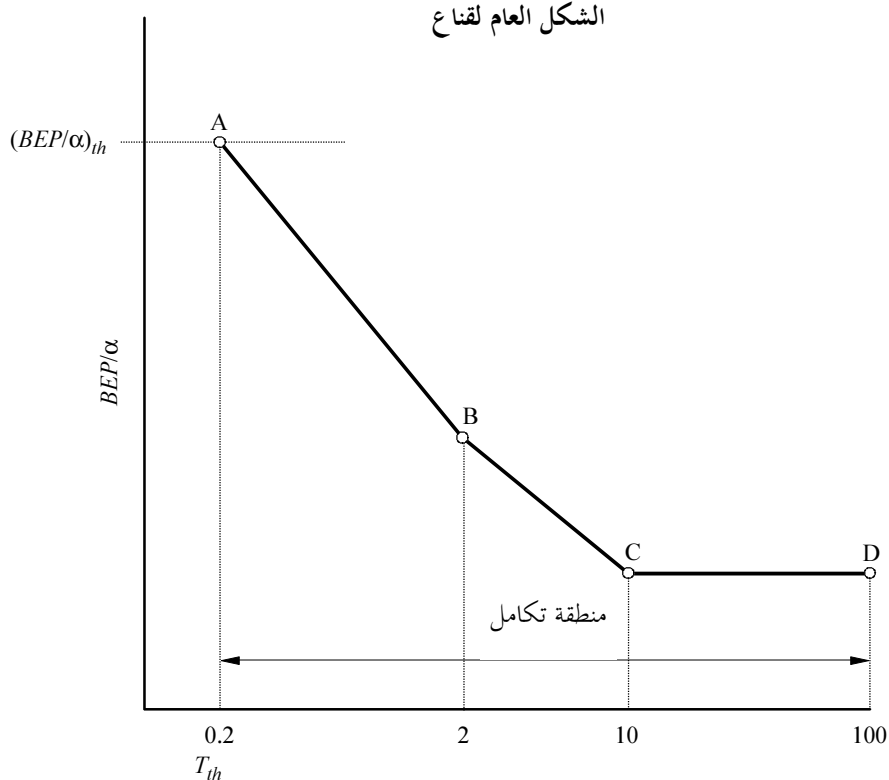
وإذا جعلنا $\overline{P_{n,k}} = \frac{\int P_{n,k} \cdot dt}{T_a}$ يمكن التعبير عن نسبة خطأ خلفية الفدرة (BBER) كما يلي:

$$(12) \quad BBER = \frac{\sum_{k=1}^{0.3n} \overline{P_{n,k}} \cdot k}{n \cdot (1 - SESR)}$$

ولكن لدى اختيار قيمة BEP_{th}/α لإنتاج الأقنة، يجب الأخذ في الاعتبار خطأ تفسيرات المؤشر (IPI)، وهو أمر حيوي لتشغيل وصلات التراثب الرقمي المتزامن (SDH) على الوجه الصحيح. وقد بينت القياسات أن خطأ تفسيرات المؤشر (IPI) يزداد كثيراً عندما يقترب احتمال الخطأ في البتات (BEP) من 1×10^{-7} أو يزيد، وهو أدنى بكثير من احتمال الخطأ الذي يتسبب بفقدان التزامن في المودمات الساتلية. وفي ضوء ذلك، سيعين إجراء دراسة أخرى لتحديد عتبة احتمال الخطأ في البتات في خطأ تفسيرات المؤشر، والتي يرمز إليها هنا بـ BEP_{IPI} ، حيث تصبح وصلة التراثب الرقمي المتزامن للساتل غير متوفرة لأن تلك العتبة ستكون عاملاً مقيداً. ولأغراض هذه التوصية، أُسندت قيمة 1×10^{-9} إلى BEP_{th}/α (التي تساوي BEP_{IPI}/α).

الشكل 1

الشكل العام لقناع



الوقت الإجمالي، T (%) من الشهر الأسوأ)

1521-01

وستُنصح هذه الطريقة عدداً لا حصر له من الأقنة تحقق أهداف الأداء لتوصية قطاع تقدير الاتصالات ITU-T G.828. لذلك، تُستخدم العملية التالية لتحديد القناع وتحديد النقاط B و C و D من القناع (انظر الشكل 2):

الخطوة 1: اضبط القيمة $BEP_{th}/\alpha = 1 \times 10^{-9}$

الخطوة 2: اضبط القيمة الرمزية لعتبة عدم التيسير، $T_{th} = 0,2\%$ (BEP_{th}/α) بحيث أن النقطة A تقابل القيمة BEP_{th}/α .

الخطوة 3: اضبط قيمة القناع عند 2% و 10% و 100% من الوقت (النقاط B و C و D).

الخطوة 4: احسب ESR و SESR و BBER بإجراء التكامل عبر المنطقة ما بين T_{th} (0,2%) و 100%. وفي اشتقاق هذه الأقنية، يفترض أن الوصلة الساتلية غير متوفرة لقيم احتمال الخطأ في البتات (BEP) التي تزيد عن هذه.

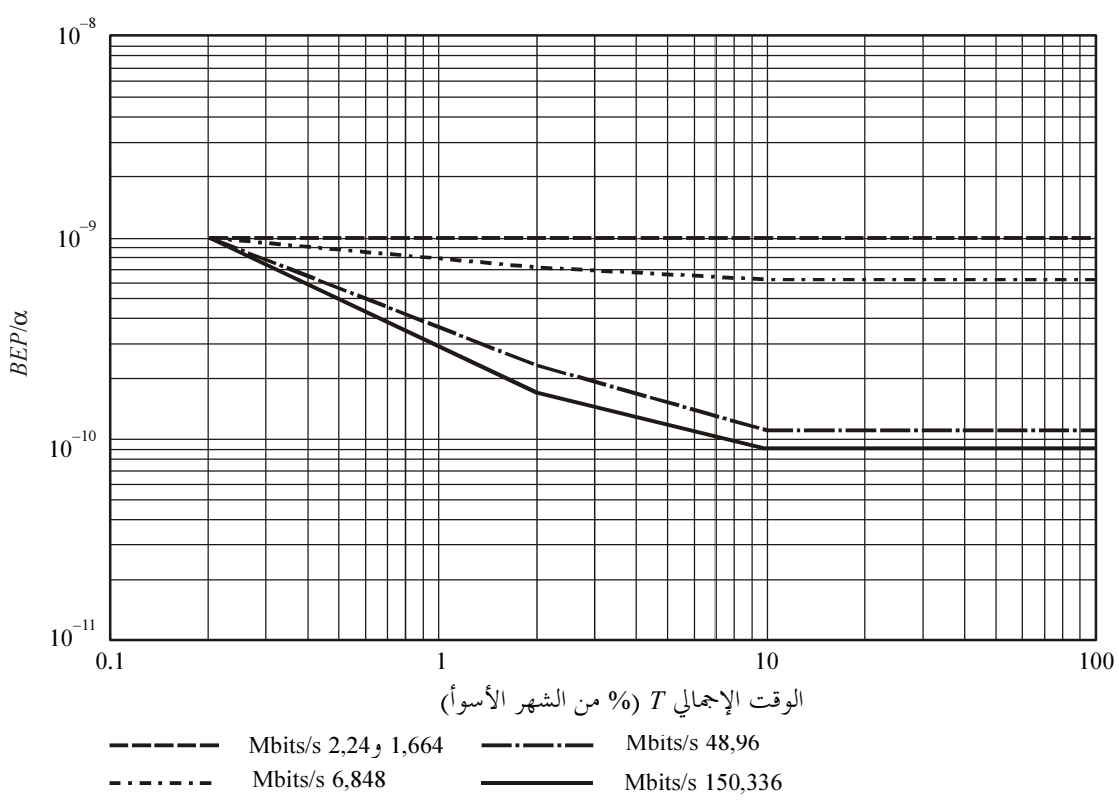
الخطوة 5: كرر الخطوتين 3 و 4 حتى تتحقق جميع المعلمات (ESR و SESR و BBER) للأهداف الواردة في الجدول 3.

وتحتاج العملية المذكورة أعلاه عدم توفر وصلة في 0,2% من الوقت.

وباستعمال العملية المذكورة أعلاه مع الافتراضات الإضافية بتطابق النسبة BEP/α المقابلة لل نقطتين C و D، جرى إنتاج مجموعة من الأقنية، على سبيل المثال، لمعدلات إرسال مختلفة، وهي مبينة في الشكل 2.

الشكل 2

الأقنية المنتجة للقفزات الساتلية



$$10 = \alpha$$

وقت عتبة BEP هو 10×10^{-10} هو

الوقت المتوفّر من 0,002 إلى 1

يتقدّم أداء جميع النماذج على معايير

كما يتقدّم نموذج Mbit/s 2,24 و 1,664 على معايير

1521-02

3 العلاقة بين معدل الخطأ في البتات (BER) ونسبة أحداث الخطأ

من المعروف جيداً أن الأخطاء على الوصلات الساتلية، التي تستخدم التصحيح المسيق للخطأ (FEC) وخطط التخليل، تقع عادةً على شكل حشود. واحتمال ظهور الحشود، الذي يمكن أن يدعى أيضاً أحداث الخطأ، هو احتمال عشوائي يتبع توزيع بواسون (Poisson). والمعدل الناتج لخطأ الفدرة هو نفسه كما لو كانت تسبّبه أخطاء بتات تقع عشوائياً (بتوزيع بواسون)

مع BER و α/BER ، حيث α (المستعمل في الفقرة 1.2 لاحتساب تقطيع الأخطاء) هو متوسط عدد البتات المشوبة بالخطأ ضمن حشد. كما يمثل α النسبة بين معدل الخطأ في البتات ونسبة أحداث الخطأ. فمثلاً، يُعتبر α مساوياً لواحد. غير أن α قد تزيد عن واحد في خطط التعديل ذات المرتبة الأعلى.

وفي خطة معينة للتصحيح المسبق للخطأ (FEC)، يمكن تقدير القيم النظرية لـ α باللجوء إلى توزيع وزن الخطأ. وترد في الفقرة 1.3 خلفية اشتراق القيمة النظرية. وتتوقف الخصائص الإحصائية لشود الأخطاء على الخطأ المستعملة للتصحيح المسبق للخطأ/المخلط. وقد استعملت عمليات حاكاة وقياسات حاسوبية لختلف خطط التصحيح المسبق للخطأ (دون مخلط أو تشفير تفاضلي) لتحديد العامل α . وتفترض قناة غوسية (Gaussian) بيضاء مضافة في الحاكاة. وترد هذه النتائج في الفقرات 2.3 إلى 6.3.

1.3 اشتراق متوسط عدد البتات المشوبة بالخطأ في حشد

في الشفرة C للفدرة المنهجية (n,k) ، تعطى وظيفتها المعروفة لتعداد الوزن (WEF) كما يلي:

$$(13) \quad B^C(H) \triangleq \sum_{i=0}^n B_i H^i$$

حيث:

B_i : عدد (صحيح) من الكلمات الشفرة مع وزن هامنغ (Hamming) (عدد الوحدات) i

H : متغير وهي.

ويمكن استعمال وظيفة تعداد الوزن (WEF) لشفرة لحساب الصيغة الدقيقة لاحتمال الأخطاء غير المكتشفة والحد الأعلى لاحتمال الخطأ في الكلمة.

ويمكن تعريف وظيفة تعداد وزن إطباب الدخل (IRWEF) لشفرة على النحو التالي:

$$(14) \quad A^C(W, Z) \triangleq \sum_{w,j} A_{w,j} W^w Z^j$$

حيث $A_{w,j}$ يدل على عدد (صحيح) من الكلمات المولدة بكلمة معلومات مدخلة لوزن هامنغ w الذي تكون لبتات اختبار التعادلية فيه وزن هامنغ، j ، بحيث يبلغ مجمل وزن هامنغ $w+j$. وتبيّن وظيفة تعداد وزن إطباب الدخل (IRWEF) المساهمات المنفصلة من المعلومات ومن بثات اختبار التعادلية في مجمل وزن هامنغ لكلمات الشفرة، وتتوفر وبالتالي معلومات إضافية عن البيانات العامة لوزن (هامنغ) للشفرة.

وباستعمال الشفرة أعلى، يمكن وضع الحد الأعلى لاحتمال الخطأ في البتات (BEP) P_b كما يلي:

$$(15) \quad P_b \leq \sum_{m=d_{min}}^{\infty} D_m P(R''_m | C_0)$$

حيث d_{min} هي المسافة الدنيا للشفرة، و $P(R''_m | C_0)$ هو احتمال انتقاء مفكك الشفرة لكلمة الشفرة ذات الوزن m ، شريطة أن تكون كلمة الشفرة المرسلة مؤلفة من شفرة كلها أصفار، وما يلي:

$$(16) \quad D_m = \sum_{j+w=m} \frac{w}{k} A_{w,j}$$

ولذلك، فإن متوسط عدد البتات في حشد α سيكون القيمة المتوسطة لوزن هامنگ w ، مما يؤدي إلى:

$$(17) \quad \bar{w} = \sum_{m=d_{min}}^{\infty} \sum_{j=w+j}^{\infty} w A_{w,j} P_m$$

حيث P_m هو احتمال أحد أحداث الخطأ بعدد m من الأخطاء في جميع أحداث الخطأ. ولأن P_m يتراقص بسرعة مع m ، فيمكن تقريره بـ \bar{w} ، لا سيما في القيم المنخفضة لاحتمال الخطأ في البتات (BEP)،

$$(18) \quad \bar{w} \approx \sum_{d_{min}=w+j}^{\infty} w A_{w,j} P_{d_{min}}$$

عوامل في شفرات بوس وشودري وهو كنجهام (BCH) الثنائية 2.3

باستعمال المعادلة (19)، يمكن تقدير قيم α لشفرات BCH المنهجية. ويبيّن الجدول 5 توزيع وزن شفرة BCH (7,4) والمسافة الدنيا لشفرة (7,4) هي 3. ومن ثم، يمكن تقدير α للشفرة على النحو التالي:

$$(19) \quad \bar{w}_{(7,4)} = \alpha_{(7,4)} \approx 1 \times \frac{3}{7} + 2 \times \frac{3}{7} + 3 \times \frac{1}{7} \cong 1.7$$

الجدول 5

توزيع وزن شفرة (7,4) BCH

$A_{w,j}$	j	w
1	0	0
3	2	1
1	3	1
3	1	2
3	2	2
1	0	3
3	1	3
1	3	4

ويبيّن الجدول 6 القيمة المقدرة لعامل α لمختلف شفرات BCH المنهجية، ويقارن الجدول 7 نتائج المحاكاة لشفرة BCH (15,11) مع النتائج المقدرة. وكلما تدنى معدل الخطأ في البتات (BER)، اقتربت القيمة المقدرة من قيمة المحاكاة.

أما في الشفرات غير المنهجية، يكون زهاء نصف الكلمة المعلومات خطأً عند فشل فك التشفير. وفي هذه الحالة، يمكن تقرير α إلى $k/2$.

الجدول 6

القيمة المقدرة النظرية لعامل α لمختلف شفرات BCH

α	الشفرة المختزلة (n,k)	α	الشفرة الموسعة (n,k)	α	شفرة (n,k) BCH
2,67	(15,10)	2,75	(16,11)	2,20	(15,11)
3,23	(31,25)	3,25	(32,26)	2,52	(31,26)
4,53	(31,20)	4,56	(32,21)	3,73	(31,21)
2,96	(63,56)	2,96	(64,57)	2,06	(63,57)
		4,50	(64,51)	4,07	(63,51)

الجدول 7

مقارنة القيم النظرية والمحاكاة لعامل α لشفرة BCH (15,11)

α النظري	α المحاكي	BER
2,2	2,60	$^{2-} 10 \times 2,88$
	2,37	$^{3-} 10 \times 4,69$
	2,36	$^{4-} 10 \times 5,57$
	2,33	$^{5-} 10 \times 2,36$

3.3 عوامل في الشفرات التلافية

يمكن تطبيق نهج مماثل على الشفرات التلافية المعروفة، حددت دراسات مختلفة توزيعات وزنها بدلاً من عدد كلمات الشفرة، a_d ، في المسافة d ، ومجموع أخطاء البتات (وزن خطأ المعلومات) c_d في كلمات شفرة المسافة d . وعلى غرار التقرير إلى شفرات BCH الثنائية، ($\alpha = \bar{w}$)، يمكن تقرير الشفرات التلافية إلى $(c_{d_f})/(a_{d_f})$ ، حيث d_f هي المسافة الحرة للشفرة.

ويبيّن الجدول 8 توزيعات وزن الشفرات التلافية الشائعة، بينما يقارن الجدول 9 القيم المقدرة نظرياً والمحاكاة لعامل α . وكما تأكّد في شفرات BCH الثنائية، فإن القيم المقدرة لعامل α تكاد تتساوى مع القيم المحاكاة عند تدني مدى معدل الخطأ في البتات (BER).

الجدول 8

توزيع وزن الشفرات التلافية

$(a_d, d = d_f, d = d_f + 1, d = d_f + 2, \dots)$ $(c_d, d = d_f, d = d_f + 1, d = d_f + 2, \dots)$	d_f	المولد (ثنائي)	طول القيد K	معدل الشفرة R
$(11, 0, 38, 0, 193, 0, 1\ 331, 0, 7\ 275, \dots)$ $(36, 0, 211, 0, 1\ 404, 0, 11\ 633, \dots)$	10	133, 171	7	1/2
$(11, 0, 50, 0, 286, 0, 1\ 630, 0, 9\ 639, \dots)$ $(33, 0, 281, 0, 2\ 179, 0, 15\ 035, \dots)$		561, 753	9	
$(1, 16, 48, 158, 642, 2\ 435, 9\ 174 \dots)$ $(3, 70, 285, 1\ 276, 6\ 160, 27\ 128, \dots)$	6	133, 171	7	⁽¹⁾ 2/3
$(2, 42, 468, 4\ 939, 52\ 821 \dots)$ $(14, 389, 6\ 792, 97\ 243, 1\ 317\ 944 \dots)$	3	133, 171	7	⁽¹⁾ 7/8

⁽¹⁾ شفرات متقطعة من شفرة R مع $K = 1/2$

4.3 عوامل في الشفرات السلسلية

في شفرة سلسلية ذات شفرة ريد-سولومون (RS) خارجية وشفرة تلافية داخلية، تتصل قيمة α مباشرة بتوزيع وزن شفرة RS لأن شفرة RS هي الشفرة الخارجية. ويمكن الحصول على قيمة α في شفرات RS باتباع نفس القاعدة المستعملة في شفرة BCH الثنائية، إذا ما استُعمل الترجيح الأقصى لفك التشفير. في هذه الحالة، ينبغي العثور على توزيع الوزن الثنائي لشفرات RS.

الجدول 9

مقارنة بين القيم النظرية والمحاكاة لعامل α في الشفرات التلافية

α (المحاكى)	BER	α (المقدر)	d_f	المولد (ثاني)	طول القيد K	معدل الشفرة R
7,21	$^{2-}10 \times 1,74$	3,27	10	133, 171	7	1/2
5,68	$^{3-}10 \times 1,91$					
3,74	$^{4-}10 \times 1,05$					
3,48	$^{6-}10 \times 5,05$					
3,00	$^{7-}10 \times 1,07$					
13,00	$^{2-}10 \times 2,22$					
11,56	$^{3-}10 \times 1,77$					
4,38	$^{5-}10 \times 2,10$					
3,96	$^{7-}10 \times 4,20$					
8,00	$^{2-}10 \times 3,61$					
7,14	$^{4-}10 \times 7,86$	3,00	6	133, 171	7	2/3
5,32	$^{6-}10 \times 2,96$					
5,67	$^{7-}10 \times 2,14$					
9,08	$^{2-}10 \times 2,24$					
8,85	$^{2-}10 \times 2,68$	7,00	3	133, 171	7	7/8
7,77	$^{3-}10 \times 9,82$					
7,57	$^{5-}10 \times 1,77$					
7,29	$^{6-}10 \times 1,49$					

يبين الجدول 10 قيم α المحاكاة لشفرات RS في خطة التشفير السلسلية الموصفة في توصيتي قطاع الاتصالات الراديوية ITU-R BO.1724 وITU-R S.1709. وتُستعمل شفرة (204,188) RS المختصرة من شفرة (255,239) RS الأصلية. كما تُستعمل شفرة (71,55) RS المختصرة لحجم رزمة مختلف.

الجدول 10

قيم α المحاكاة لشفرات RS في خطة التشفير السلسلية

α	BER	شفرة (n,k) RS	α	BER	شفرة (n,k) RS
8,47	$^{3-}10 \times 6,17$	(71,55)	12,80	$^{3-}10 \times 7,74$	(204,188)
7,74	$^{4-}10 \times 2,03$		9,14	$^{4-}10 \times 5,19$	
7,32	$^{7-}10 \times 2,02$		8,58	$^{6-}10 \times 1,02$	

5.3 عوامل في الشفرات التوربينية

في الشفرات التوربينية، يمكن انتهاج نهج مماثل للشفرات التلافية لأن الشفرات التوربينية قائمة على الشفرات التلافية. ويبين الجدول 11 توزيعات الوزن للشفرات التوربينية الموصفة في توصيتي قطاع الاتصالات الراديوية ITU-R BO.1724 وITU-R S.1709، ويبيّن الجدول 12 ما يقابلها من قيم α المقدرة. ويبين الجدول 13 قيم α المحاكاة لشفرة (255,239) RS بحجم 53 بايتة. وبما أن الشفرات التوربينية تستعمل خوارزمية فك تشفير تكرارية، فإن قيم α ومعدل الخطأ في البتات (BER) يعتمدان على خوارزمية فك التشفير وعدد التكرارات. وفي المحاكاة، استعملت خوارزمية فك التشفير المعروفة باسم max-log MAP

وقدرت قيمة α بـ 6 و 15. وأن القيمة النظرية المقدرة في الجدول 14 يمكن اعتبارها حدًّا أدنى، فهي أصغر من القيمة المحاكاة في الجدول 15.

الجدول 11

توزيع وزن الشفرات التوربينية ($df/ad/cd$)

$R = 6/7$	$R = 3/4$	$R = 2/3$	$R = 1/2$	$R = 1/3$	حجم الرزمة (بايتات)
4/9/27	7/10/50	11/159/901	18/159/954	31/106/954	53
5/194/719	8/85/375	12/265/1325	19/159/1431	32/265/1643	
6/1228/5371	9/486/2335	13/1802/11342	20/530/3551	33/106/901	
6/199/826	9/27/171	12/188/1316	19/376/3384	33/3476/3384	188
7/1578/7269	10/148/1025	14/752/5264	20/376/3008	35/376/3760	
8/9144/49558	11/1462/9674	15/1504/12220	22/752/6768	36/752/6392	

الجدول 12

قيم α المقربة نظريًا في الشفرات التوربينية

$R = 6/7$	$R = 3/4$	$R = 2/3$	$R = 1/2$	$R = 1/3$	حجم الرزمة (بايتات)
3,00	5,00	5,67	6,00	9,00	53
3,70	4,41	5,00	9,00	6,20	
4,37	4,80	6,29	6,70	8,50	
4,15	6,33	7,00	9,00	9,00	752
4,60	6,93	7,00	8,00	10,00	
5,42	6,62	8,13	9,00	8,50	

الجدول 13

قيم α المحاكاة في الشفرات التوربينية

$R = 6/7$ BER/ α	$R = 3/4$ BER/ α	$R = 1/2$ BER/ α	$R = 2/5$ BER/ α	$R = 1/3$ BER/ α	رقم التكرار
${}^5-10 \times 3,44/6,8$	${}^4-10 \times 9,53/15,9$	${}^4-10 \times 1,39/21,5$	${}^5-10 \times 3,79/16,6$	${}^5-10 \times 5,58/16,8$	6
${}^6-10 \times 2,34/5,2$	${}^5-10 \times 3,47/11,3$	${}^5-10 \times 2,24/17,1$	${}^6-10 \times 5,56/12,8$	${}^6-10 \times 9,28/14,0$	
${}^7-10 \times 2,53/4,1$	${}^7-10 \times 9,89/7,8$	${}^7-10 \times 5,69/9,0$	${}^7-10 \times 9,68/10,6$	${}^6-10 \times 1,42/10,6$	
${}^5-10 \times 2,67 /7,0$	${}^4-10 \times 6,46/18,3$	${}^5-10 \times 6,36/26,6$	${}^5-10 \times 1,57/20,8$	${}^5-10 \times 2,25/23,7$	15
${}^6-10 \times 1,74/4,8$	${}^5-10 \times 1,89/12,2$	${}^6-10 \times 9,30/18,9$	${}^6-10 \times 2,41/14,5$	${}^6-10 \times 3,28/16,5$	
${}^7-10 \times 1,78/4,3$	${}^7-10 \times 6,02/7,9$	${}^7-10 \times 3,02/8,9$	${}^7-10 \times 4,25/10,8$	${}^7-10 \times 5,62/11,6$	

6.3 عوامل في الشفرات التوربينية الفدرية

الشفرات التوربينية الفدرية (BTC) هي شفرات جدائیه يُفك تشفيرها تكرارياً. والمسافة الدنيا للشفرة الجدائیه هي ناتج ضرب المسافات الدنيا للشفرات المكونة لها. فعلى سبيل المثال، المسافة الدنيا لشفرة جدائیه عدد أبعادها m بنفس الشفرة المكونة ذات المسافة الدنيا d_{min}^m . وباتباع المبدأ نفسه، يمكن تمثيل قيمة α من أجل BTC على النحو التالي:

$$(20) \quad \alpha_{BTC} = \alpha_{c_1} \cdot \alpha_{c_2} \cdots \alpha_{c_m}$$

حيث α_{c_i} هي قيمة الشفرة المكونة ذات الترتيب i . وُستعمل عادةً الشفرات المنهجية الائتمانية المبينة في الفقرة 2.3. وبين الجدول 14 قيم α_{BTC} المقدرة نظرياً باستعمال المعادلة (20)، حيث تفترض في الشفرة التوربينية الفدرية نفس الشفرات المكونة المستعملة سابقاً. لذلك، فإن قيمة α_c هي كالقيم في الجدول 6. ويقارن الجدولان 15 و 16 القيم المقدرة نظرياً والقيم المحاكاة للشفرات التوربينية الفدرية (BTC) (ثنائية الأبعاد. وكما تأكّد في الفقرتين 2.3 و 3.3، فإن القيم المقدرة تكاد تتساوى مع القيم المحاكاة عند تدني مدى معدل الخطأ في البتات (BER).

الجدول 14

القيم المقرّبة نظرياً في الشفرات التوربينية الفدرية

ثلاثية الأبعاد α_{BTC}	ثنائية الأبعاد α_{BTC}	α_c	d_{min}	الشفرة الموسعة (n,K)
20,80	7,56	2,75	4	(16,11)
34,33	10,56	3,25	4	(32,26)
94,82	20,79	4,56	6	(32,21)
25,93	8,76	2,96	4	(64,57)
91,13	20,25	4,50	6	(64,51)

الجدول 15

مقارنة بين قيم α النظرية والمحاكاة في الشفرة التوربينية الفدرية (16,11) × (16,11)

الشفرة المكونة		α_{BTC}	BER	E_b/N_0 (dB)
α_c	BER			
2,82	$^{1-}10 \times 1,25$	14,50	$^{2-}10 \times 4,41$	1,0
2,88	$^{2-}10 \times 7,82$	10,35	$^{3-}10 \times 3,43$	2,0
2,52	$^{2-}10 \times 5,97$	7,46	$^{4-}10 \times 4,42$	2,5
2,82	$^{2-}10 \times 4,31$	7,25	$^{5-}10 \times 8,30$	3,0
2,99	$^{2-}10 \times 2,97$	7,31	$^{6-}10 \times 8,51$	3,5

الجدول 16

مقارنة بين قيم α النظرية والمحاكاة في الشفرة التوربينية الفدرية $(32,26) \times (32,26)$

الشفرة المكونة		α_{BTC}	BER	E_b/N_0 (dB)
α_c	BER			
3,88	$2^{-10} \times 5,96$	31,57	$3^{-10} \times 4,19$	2,0
3,33	$2^{-10} \times 3,10$	11,21	$6^{-10} \times 7,801$	3,0
3,15	$2^{-10} \times 2,35$	9,76	$6^{-10} \times 2,10$	3,3

7.3 نتائج القياس الأخرى وملخص

إن القياسات المختبرية للإرسالات الرقمية من نمط معدل البيانات الوسطي (IDR) لساتل INTELSAT مع $FEC R = 3/4$ مخلي (FEC $R = 1/2$) أفرزت $\alpha = 10$ على مدى معدل الخطأ في البتات (BER) من 1×10^{-4} إلى 1×10^{-11} . وحددت قيمة $\alpha = 5$ في القياسات نفسها للإرسالات الرقمية من نمط الخدمات التجارية (IBS) لساتل INTELSAT مع مخلي (FEC $R = 1/2$).

ويظهر من النتائج التي جرى استقصاؤها أن المعلمة α هي دالة لتوزيع وزن خطة التصحيح المسبق للخطأ (FEC) ومعدل الخطأ في البتات. ويمكن تقييم أثر المعلمة α على نموذج الأداء كما يلي.

وقد أُنفتحت الأقنة في الشكل 2 باستعمال $\alpha = 10$. ففي حال عدم استعمال التصحيح المسبق للخطأ (FEC)/المخلط ($\alpha = 1$) مثلاً، ستزداد النماذج بمقدار عشرة واحدة مما يجعل من متطلبات معدل الخطأ في البتات أكثر تشديداً بعشرة أمثال.

4 الاستنتاجات

أظهرت الدراسات أن الأقنة الازمة لتلبية متطلبات تقدير اتصالاتITU-T G.828 تعتمد على معدل الإرسال.

كما تعتمد أقنة التصميم على توزيع الخطأ الذي يتاثر بدوره بالخطوة المستعملة للتتصحيح المسبق للخطأ (FEC)/المخلط. ويجب أيضاً أن تؤخذ متطلبات الخدمة في الاعتبار لدى اشتقاء أقنة التصميم.

5 قائمة المختصرات

ATM	أسلوب النقل غير المترامن (Asynchronous transfer mode)
BBE	خطأ خلفية الفدرة (Background block error)
BBER	نسبة خطأ خلفية الفدرة (Background block error ratio)
BEP	احتمال الخطأ في البتات (Bit error probability)
BER	معدل الخطأ في البتات (Bit error ratio)
BIP	تعادلية تشذير البتات (Bit interleaved parity)
BTC	الشفرة التوربينية الفدرية (Block turbo code)
CSES	حدث الثنائي المتعاقبة شديدة الخطأ (Consecutive severely errored second)
EB	فدرة مشوبة بالخطأ (Errored block)
EDC	شفرة كشف الخطأ (Error detection code)

ثانية مشوبة بالخطأ (Errored second)	ES
نسبة الشوائب المشوبة بالخطأ (Errored second ratio)	ESR
التصحيح المسبق للخطأ (Forward error-correction)	FEC
الخدمة الثابتة الساتلية (Fixed-satellite service)	FSS
مسير مرجعي افتراضي (Hypothetical reference digital path)	HRDP
مسير رقمي مرجعي افتراضي (Hypothetical reference path)	HRP
خطأ تفسيرات المؤشر (Incorrect pointer interpretations)	IPI
الترابي الرقمي المتزامن (Synchronous digital hierarchy)	SDH
فترة شديدة الخطأ (Severely errored period)	SEP
كثافة الفترات شديدة الخطأ (Severely errored period intensity)	SEPI
ثانية شديدة الخطأ (Severely errored second)	SES
نسبة الشوائب شديدة الخطأ (Severely errored seconds ratio)	SESR
وحدة النقل المتزامن (Synchronous transfer module)	STM
توصيل رديف (Tandem connection)	TC
حاوية افتراضية (Tandem connection)	VC
